

# Fondations en rocher

MÉCANIQUE DES ROCHES ET OUVRAGES SOUTERRAINS

■ Laboratoire de Mécanique des Roches – LEMR

Prof. M. VIOLAY

- 1. Introduction
- 2. Fondations superficielles
- 3. Fondations profondes
- 4. Fondations de barrage
- 5. Fondations travaillant en traction

#### **Fondations en rocher**

- 1. Introduction
  - 1.1. Types de fondations
  - 1.2. Mécanismes de rupture
  - 1.3. Paramètres de dimensionnement
- 2. Fondations superficielles
- 3. Fondations profondes
- 4. Fondations de barrage
- 5. Fondations travaillant en traction

#### 1. Introduction



Fondations en rocher (de bâtiments, ponts et barrages)





#### 1. Introduction



Nécessité d'analyser la résistance et la déformation des massifs rocheux sous les fondations

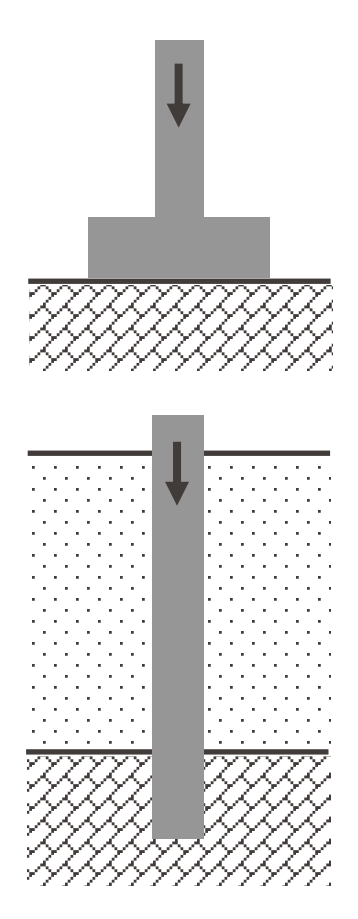


## 1.1 Types de fondations en rocher

Fondations superficielles: semelles ou radiers réalisés à même le rocher. La charge est reprise par la capacité

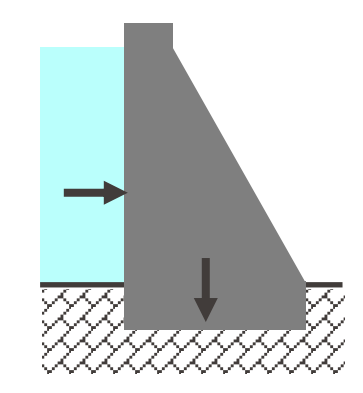
portante du rocher.

Fondations profondes: pieux forés, battus ou (vibro-)foncés dans un horizon rocheux (en fonction de sa qualité). La charge est reprise par frottement latéral et par la base fondée dans le rocher.



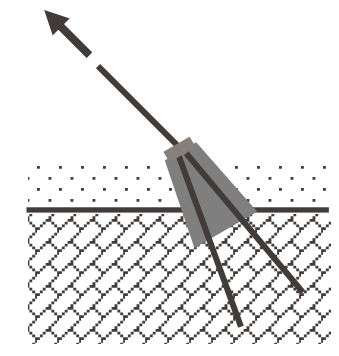
#### 1.1 Types de fondations en rocher

Fondations de barrage: Elles sont posées directement sur la roche et doivent résister à la poussée hydrostatique ainsi qu'au poids propre de l'ouvrage. Les résistances à vérifier sont relatives à la capacité portante et au glissement de l'ouvrage sur la roche.



#### Fondations travaillant à la traction:

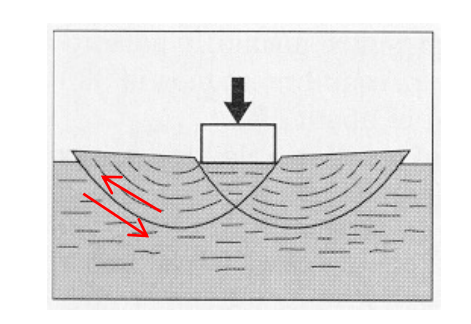
ancrages au moyen de tirants précontraints ou passifs (e.g. pour éviter un soulèvement de l'ouvrage). Le massif rocheux est sollicité en cisaillement.



## 1.2 Mécanismes de rupture

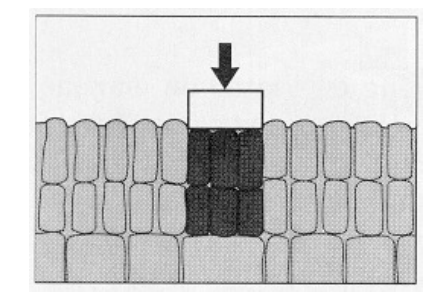
a. Cisaillement d'un massif rocheux de mauvaise qualité, altéré ou fracturé

Pour des massifs rocheux fortement fissurés ou de mauvaise qualité, un poinçonnement généralisé peut se produire.



b. Compression du massif / des joints

Lorsque les joints sont ouverts, la rupture se produit en compression.



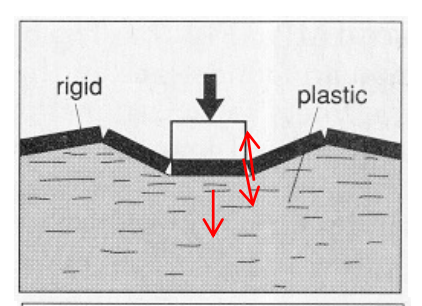
#### **EPFL**

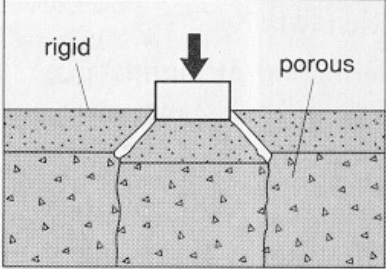
### 1.2 Mécanismes de rupture

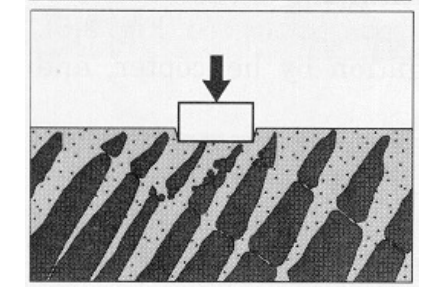
c. Rupture par poinçonnement ou par flexion

Survient lorsqu'une couche rigide surmonte un horizon plus souple.

- d. Rupture de pinacles (pic, apex)
- e. Fréquent lorsque la surface du massif rocheux est altérée.

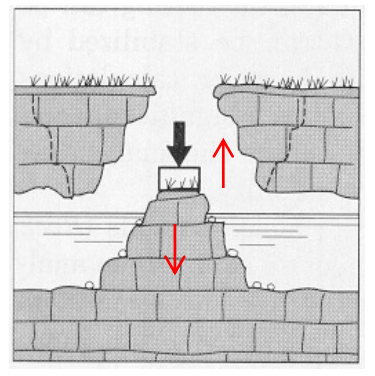


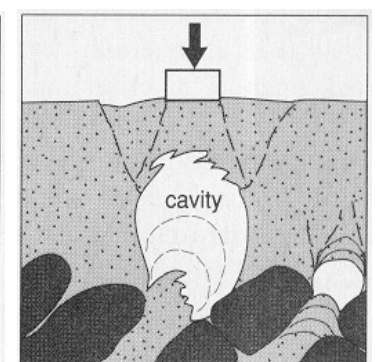




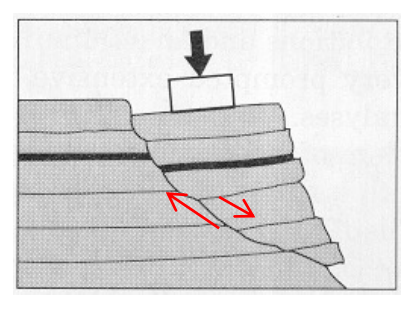
## 1.2 Mécanismes de rupture

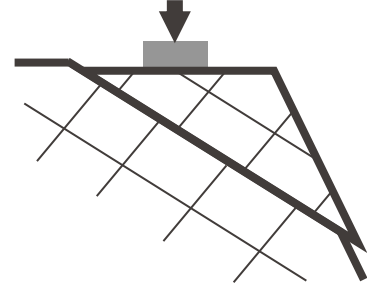
f. Eboulement de cavités rocheuses





g. Instabilité de pente due à une charge extérieure et au glissement de blocs.

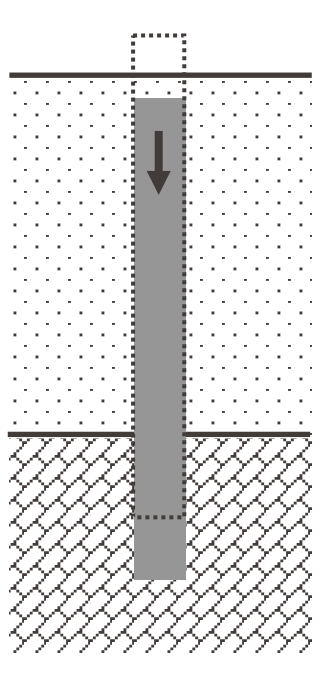




## 1.2 Mécanismes de rupture

h. Glissement latéral et tassement important en pointe du pieu.

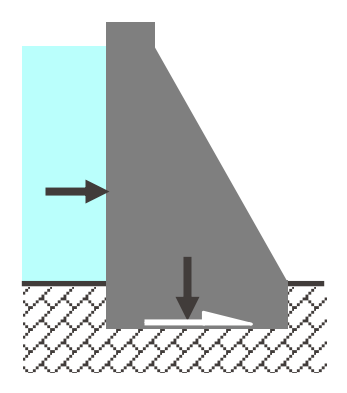
 i. Fluage pour des sollicitations élevées. Le fluage peut aussi résulter d'une détérioration (mécanique et/ou chimique) du massif rocheux.

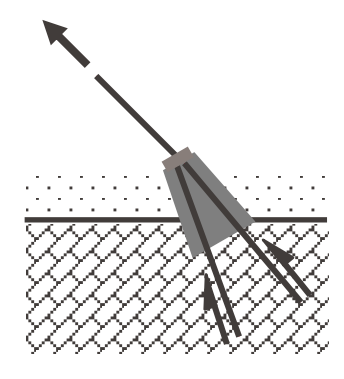


### 1.2 Mécanismes de rupture

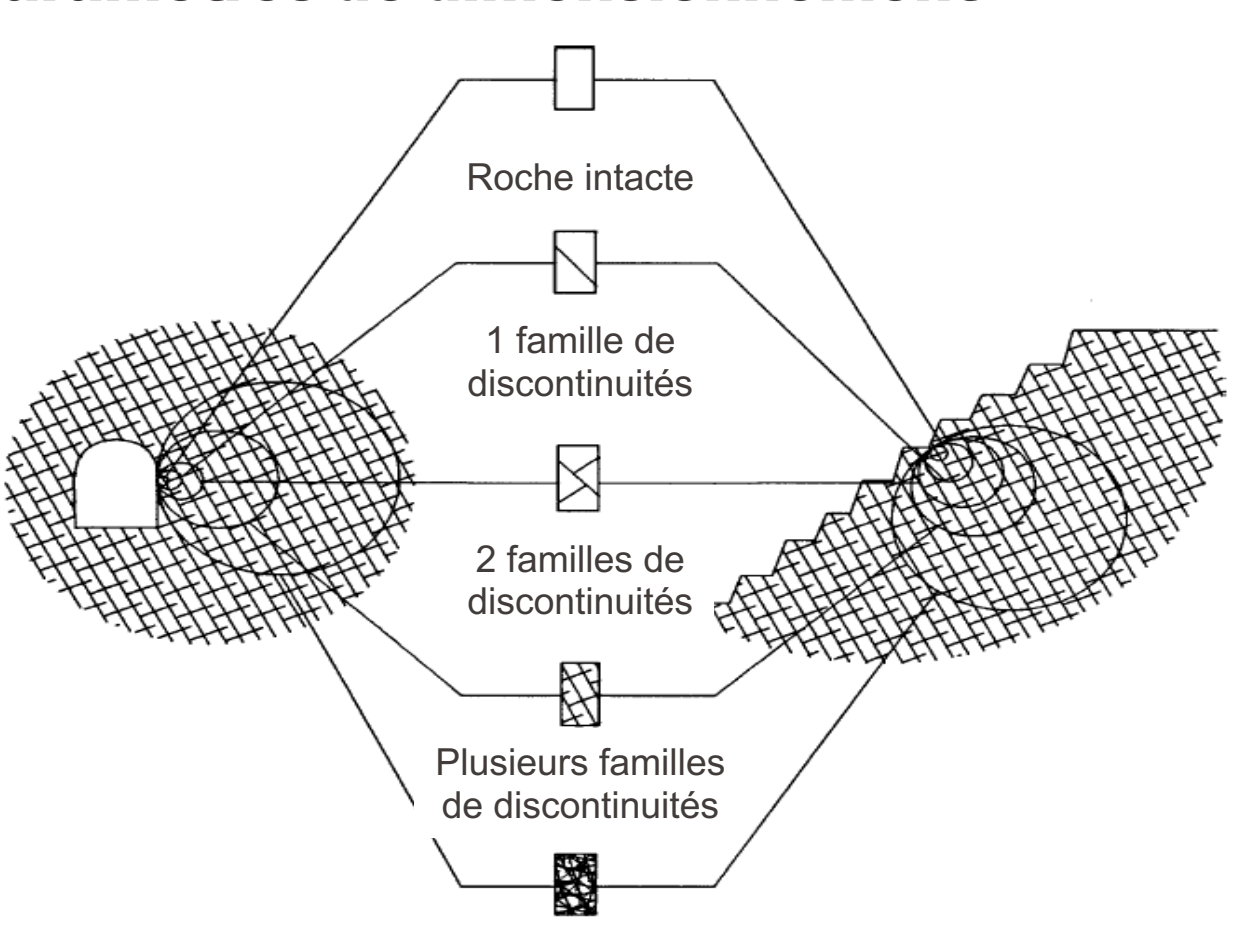
j. Glissement à l'interface entre un barrage et le massif rocheux et/ou rupture du massif de roche situé à l'aval par cisaillement.

k. Rupture du coulis d'injection ou du massif rocheux par cisaillement, sous forte sollicitation en traction de tirants













Туре	Effet sur les fondations
Nature de la roche	Propriétés de résistance et de déformation → capacité portante et tassement Fluage et rupture différée
Stratigraphie	Couches superposées -> rupture par poinçonnement ou par flexion d'une couche rigide superposée à une couche souple.
Plis	Surface du massif inclinée due au plissement, ce qui influence la capacité portante La nature des roches peut varier fortement sur peu de distance.
Faille	Faille avec pendage aval → instabilité de pente et rupture de fondation Faille avec remplissage → déplacement important dû au matériau de remplissage
Joints	Joints ouverts → rupture en compression  Joints rapprochés → rupture générale en coin  Réseaux de joints → formation de blocs en coin et rupture en cisaillement  Joint avec pendage aval → Glissement de blocs rocheux
Altération	Cavité altérée → poinçonnement et cisaillement de la roche située au toit de la cavité Altération du massif rocheux → risque de fluage
Karst	Karstification en surface → endommagement des plissements, dissolution de pinacles Dissolution du massif rocheux → poinçonnement de la roche située au toit de la cavité

# rof M VIOLA

#### Critère généralisé de Hoek-Brown pour le massif rocheux

$$\sigma_1 = \sigma_3 + \sigma_{ci} \left( m_b \cdot \frac{\sigma_3}{\sigma_{ci}} + s \right)^a \qquad \frac{\sigma_1}{\sigma_{ci}} = \frac{\sigma_3}{\sigma_{ci}} + \left( m_b \cdot \frac{\sigma_3}{\sigma_{ci}} + s \right)^a$$

m<sub>i</sub> est déterminé par essais (≈ σ<sub>ci</sub> /σ<sub>ti</sub> ) ou à défaut d'après tableau.

Pour un GSI donné, on peut calculer m<sub>b</sub>,

$$m_b = m_i \exp [(GSI-100)/28]$$

Pour GSI > 25, soit des massifs de bonne qualité:

$$s = \exp[(GSI-100)/9]$$

a = 0.5

Pour GSI < 25, soit des massifs de mauvaise qualité:

$$s = 0$$

$$a = 0.65 - GSI/200$$

# SINIA DETITION STOADY TO THE STUDIO STORE THO THAT

#### 1.3 Paramètres de dimensionnement



Granite, GSI = 75,  $\sigma_{ci}$  = 150 MPa,  $m_i$  = 32, a = 0.5  $m_b$  =  $m_i$  exp[(GSI – 100)/28] = 13.1 s = exp[(GSI – 100)/9] = 0.062  $\sigma_1$  =  $\sigma_3$  + (1956  $\sigma_3$  + 1395)<sup>0.5</sup>  $\sigma_{cm}$  = 37 MPa,  $\sigma_{tm}$  = 0.7 Mpa

σ <sub>3</sub> (MPa)	σ <sub>1</sub> (MPa)
0	37
0.2	43
0.4	47
0.6	51
0.8	55
1.0	59
1.2	63
1.5	67
2.0	75
-0.7 (σ <sub>tm</sub> )	0

Molasse, GSI = 20, $\sigma_{ci}$ = 65 MPa, $m_i$ = 7, s = 0
$m_b = m_i \exp[(GSI - 100)/28] = 0.40$
GSI < 25, $a = 0.65 - (GSI/200) = 0.55$
$\sigma_1 = \sigma_3 + (26 \sigma_3 + 0.59)^{0.55}$
$\sigma_{cm} = 0.8 \text{ MPa},  \sigma_{tm} = 0$

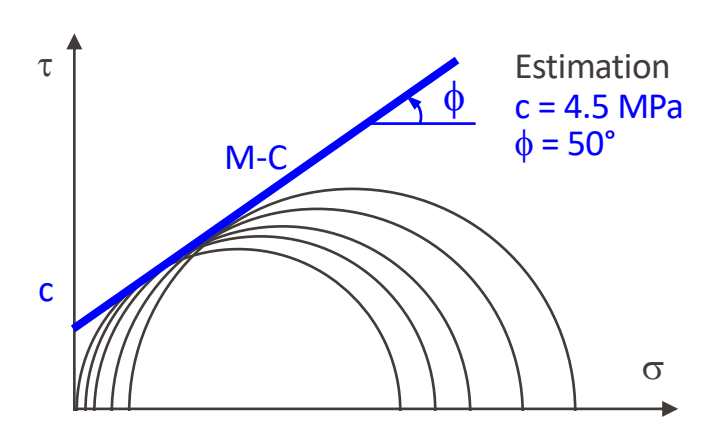
σ <sub>3</sub> (MPa)	σ <sub>1</sub> (MPa)
0	0.8
0.2	1.8
0.4	2.8
0.6	3.6
0.8	4.3
1.0	5.0
1.2	5.6
1.5	6.5
2.0	7.8
0 (σ <sub>tm</sub> )	0



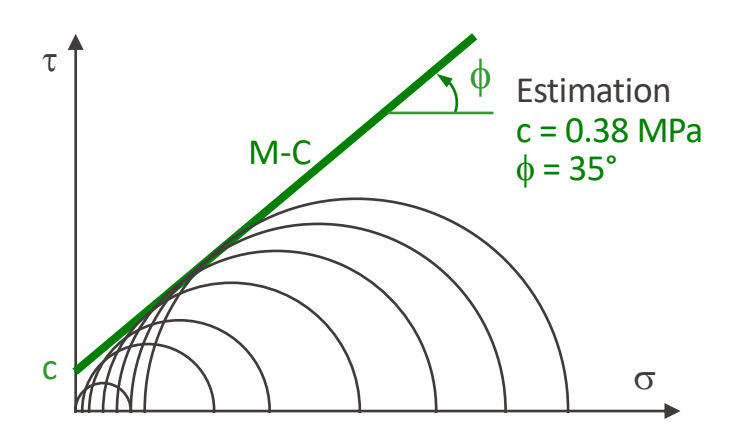
#### Cohésion et angle de frottement d'après le critère de Hoek-Brown et les cercles de Mohr

Calculer les contraintes principales  $\sigma_1$  et  $\sigma_3$  avec le critère de Hoek-Brown et dessiner les cercles correspondant à chaque couple  $\sigma_1$  -  $\sigma_3$ . Tracer l'enveloppe de rupture tangente aux cercles et trouver c et  $\phi$ .

#### Granite de bonne qualité



#### Molasse de mauvaise qualité



#### Cohésion et angle de frottement en utilisant RMR

Ces valeurs sont bien souvent inférieures à celles issues des cercles de Mohr.

RMR	c (MPa)	φ (degree)
< 20	< 0.1	< 15
21 – 40	0.1 - 0.2	15 – 25
41 – 60	0.2 - 0.3	25 – 35
61 – 80	0.3 - 0.4	35 - 45
> 81	> 0.4	> 45

Estimé avec les cercles de Mohr

$$c = 0.38 \text{ MPa } \phi = 35^{\circ}$$

$$c = 4.5 \text{ MPa } \phi = 50^{\circ}$$

#### 1.3 Classification de Bieniawski



of M. VIOLAY

#### Bieniawski (1973 – 1989)

**RMR: Rock Mass Rating** 

Le système RMR comprend 5 paramètres de base.

- 1. Résistance de la roche intacte: résistance à la compression uniaxiale ou indice de résistance ponctuelle;
- 2. RQD;
- 3. Espacement des joints: espacement moyen de toutes les discontinuités rocheuses;
- 4. Conditions des joints: ouverture, rugosité, degré d'altération, remplissage;
- 5. Conditions hydrauliques: écoulement ou pression d'eau.

NB: Pas de prise en compte du coef de friction



# Prof. M. VIOLAY

# Estimation de la déformabilité à partir de la qualité des massifs rocheux

Le module d'élasticité des massifs rocheux Em [GPa] peut être estimé à partir des indices RMR ou Q, pour des massifs rocheux de qualité moyenne à bonne:

 $Em = 25 \log_{10} Q$ 

Em = 10 (Q  $\sigma_{ci}$  /100)<sup>1/3</sup>

Em = 2 RMR - 100

 $Em = 10^{(RMR - 10)/40}$ 

 $Em = 10^{(15 \log Q + 40)/40}$ 

pour Q <1

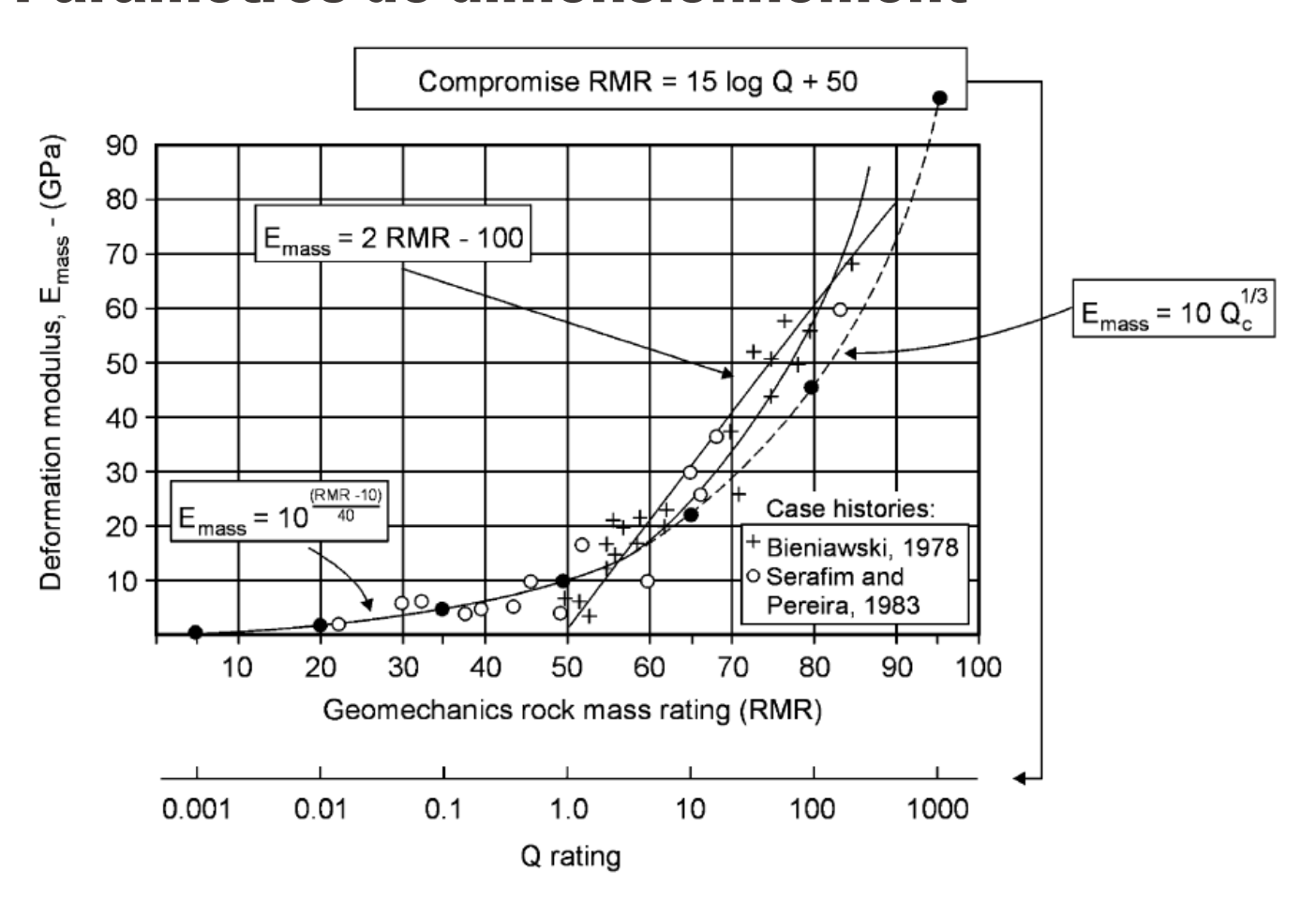
pour Q > 1

pour RMR > 50

pour 20 < RMR < 85

(compromise RMR)





#### **Fondations en rocher**

1. Introduction

2. Fondations superficielles

- 2.1. Capacité portante
  - 2.1.1. Massif sain non fissuré
  - 2.2.2. Massif moyennement fissuré

Prof. M. VIOLAY

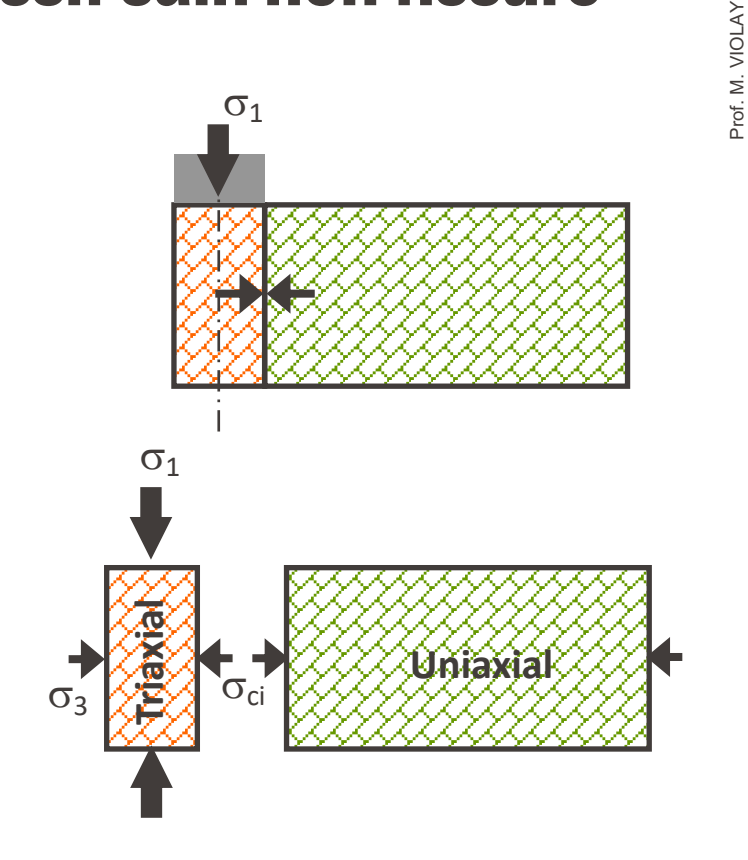
- 2.2.3. Massif fortement fissuré
- 2.2.4. Massif de mauvaise qualité
- 2.2. Tassements
- 3. Fondations profondes
- 4. Fondations de barrage
- 5. Fondations travaillant en traction

#### 2.1.1 Capacité portante – Massif sain non fissuré **EPFL**

#### Semelle sur roche intacte

Détermination d'une borne inférieure de la capacité portante en trouvant un champ de contraintes qui satisfasse dans le massif les équations d'équilibre et le critère de rupture.

La capacité portante q<sub>p</sub> est la contrainte axiale  $\sigma_1$  issue d'un essai de compression triaxiale de la roche intacte avec une contrainte latérale  $\sigma_3 = \sigma_{ci}$  qui est la résistance d'un essai de compression simple de la roche adjacente.



# 2.1.1 Capacité portante – Massif sain non fissuré

Prof. M. VIOLAY

Résistance uniaxiale:  $\sigma_{ci}$ 



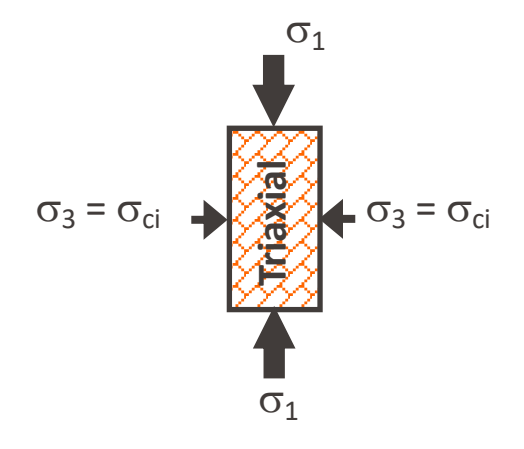
Résistance triaxiale pour  $\sigma_3 = \sigma_{ci}$ :

$$\sigma_1 = \sigma_3 + \sigma_{ci} \left( m_i \cdot \frac{\sigma_3}{\sigma_{ci}} + 1 \right)^{0.5}$$

$$\sigma_1 = \sigma_{ci} + \sigma_{ci} \left( m_i \cdot \frac{\sigma_{ci}}{\sigma_{ci}} + 1 \right)^{0.5}$$

Capacité portante

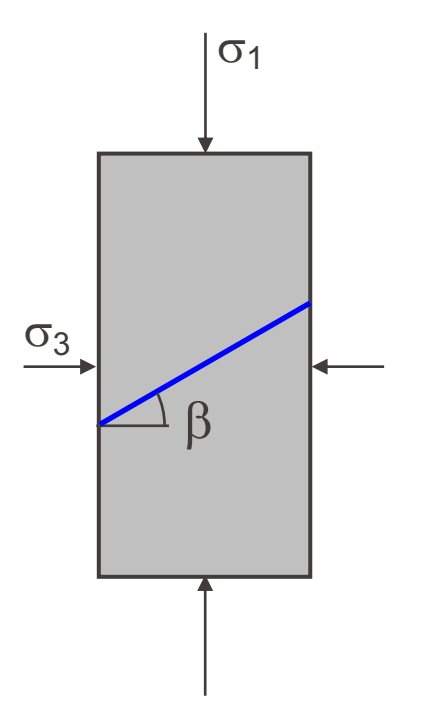
$$q_p = \sigma_1 = \sigma_{ci} \cdot (1 + \sqrt{m_i + 1})$$

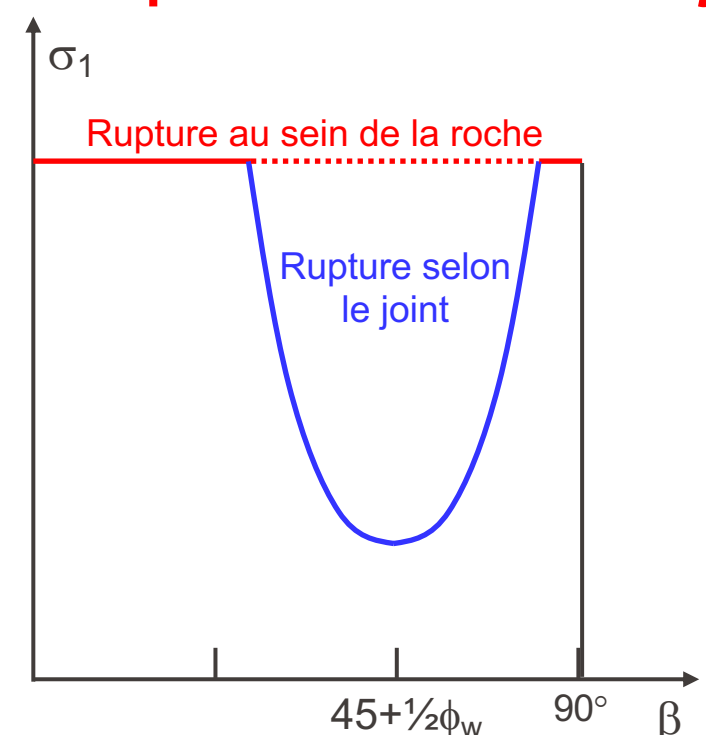


MÉCANIQUE DES ROCHES ET OUVRAGES SOUTERRAINS

# 2.1.2 Capacité portante - Massif moyennement fischiré

#### Critère de résistance orienté pour une famille de joints

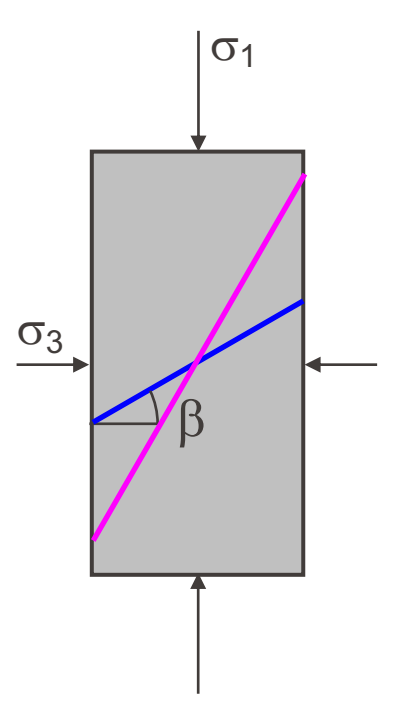


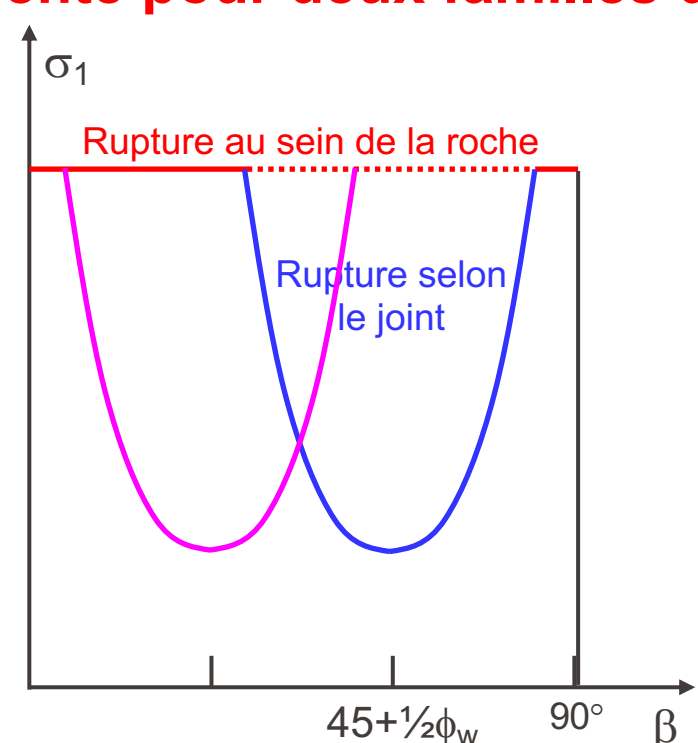


MÉCANIQUE DES ROCHES ET OUVRAGES SOUTERRAINS

# 2.1.2 Capacité portante - Massif moyennement fise que le control de la c

#### Critère de résistance orienté pour deux familles de joints





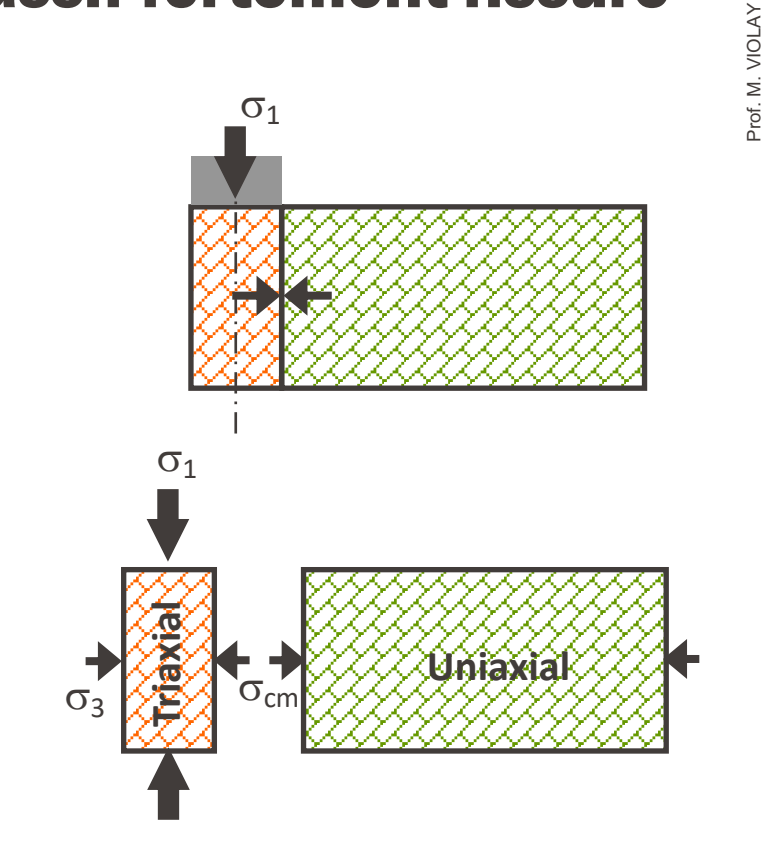
MÉCANIQUE DES ROCHES ET OUVRAGES SOUTERRAINS

### 2.1.3 Capacité portante – Massif fortement fissure

#### Semelle sur massif rocheux

Détermination d'une borne inférieure de la capacité portante en trouvant un champ de contraintes qui satisfasse dans le massif les équations d'équilibre et le critère de rupture.

La capacité portante  $q_p$  est la contrainte axiale  $\sigma_1$  issue d'un essai de compression triaxiale du massif rocheux avec une contrainte latérale  $\sigma_3 = \sigma_{cm}$  qui est la résistance d'un essai de compression simple du massif rocheux adjacent.



MÉCANIQUE DES ROCHES ET OUVRAGES SOUTERRAIN

# 2.1.3 Capacité portante – Massif fortement fissure

Prof. M. VIOLAY

Résistance uniaxiale:  $\sigma_{cm}$ 

$$\sigma_{cm} = \sigma_{ci} \cdot s^{0.5}$$

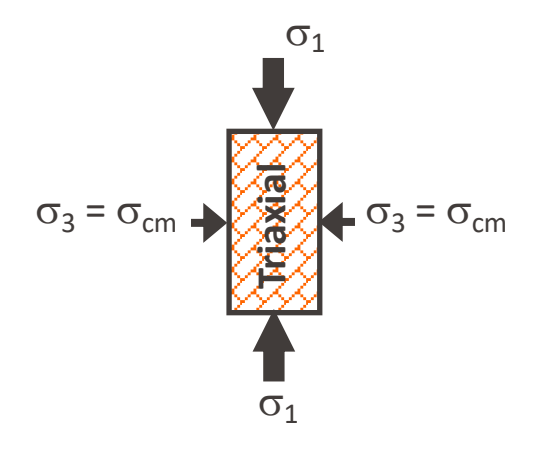
Résistance triaxiale pour  $\sigma_3 = \sigma_{cm}$ :

$$\sigma_1 = \sigma_3 + \sigma_{ci} \left( m_b \cdot \frac{\sigma_3}{\sigma_{ci}} + s \right)^{0.5}$$

$$\sigma_1 = \sigma_{cm} + \sigma_{ci} \left( m_b \cdot \frac{\sigma_{cm}}{\sigma_{ci}} + s \right)^{0.5}$$

$$q_p = \sigma_1 = \sqrt{s} \cdot \sigma_{ci} \cdot \left(1 + \sqrt{m_b/\sqrt{s} + 1}\right)$$





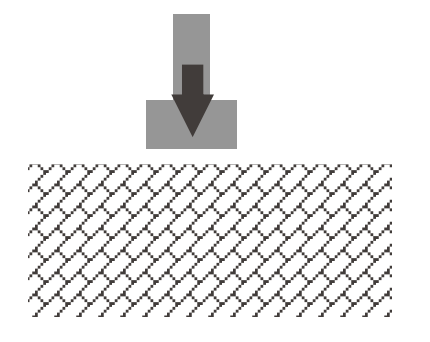
#### 2.1.3 Capacité portante - Massif fortement fissure

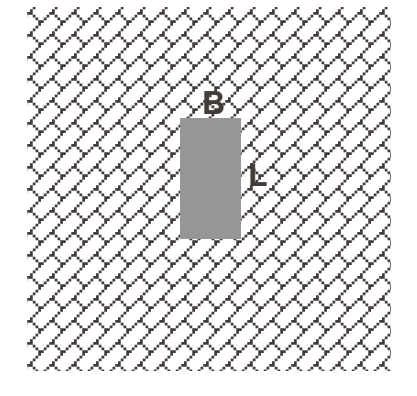
#### Capacité portante admissible

$$q_a = C_{f1} q_p / FS = C_{f1} \sigma_1 / FS$$

C<sub>f1</sub> est un facteur de forme. Sa valeur est fournie dans le Tableau F1. FS est un facteur global de sécurité.

Tableau F1	Forme	C <sub>f1</sub>	C <sub>f2</sub>
	filante (L/B > 6)	1.0	1.0
	Rectangle (L/B = 2)	1.12	0.9
	Rectangle (L/B = 5)	1.05	0.95
	Carré	1.25	0.85
	Circulaire	1.2	0.7





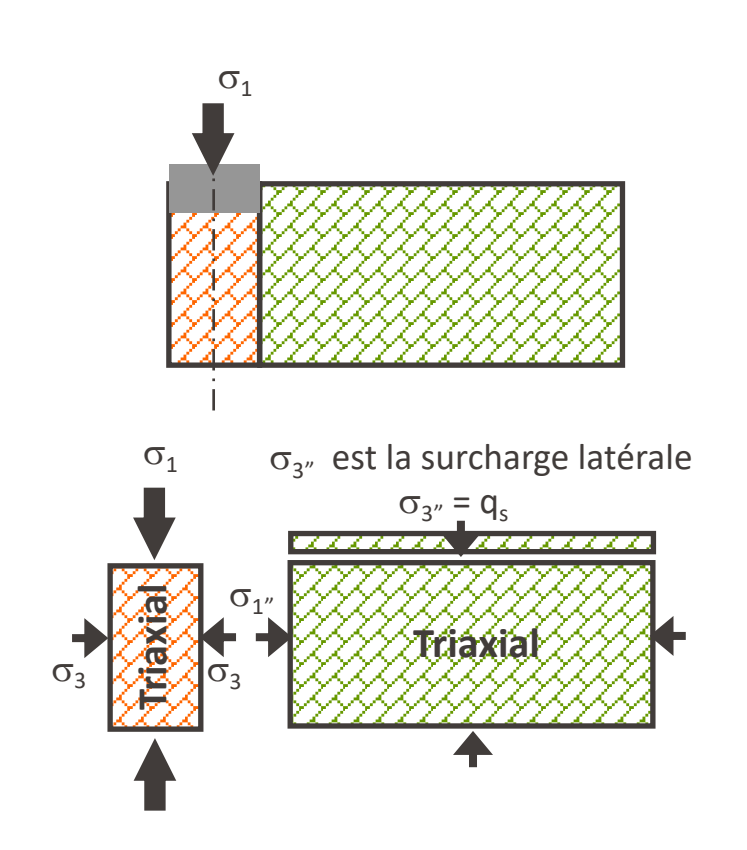


#### 2.1.3 Capacité portante - Massif fortement fissure

#### Semelle avec pied "encastré"

Détermination d'une borne inférieure de la capacité portante en trouvant un champ de contraintes qui satisfasse dans le massif les équations d'équilibre et le critère de rupture.

La capacité portante  $q_p$  est la contrainte axiale  $\sigma_1$  issue d'un essai de compression triaxiale du massif rocheux avec une contrainte latérale  $\sigma_3 = \sigma_{1''}$  qui est la résistance d'un essai de compression triaxiale du massif rocheux adjacent sous  $\sigma_{3''} = q_s$ 



## 2.1.3 Capacité portante - Massif fortement fissure

Résistance triaxiale du massif adjacent sous la surcharge  $\sigma_{3"} = q_s$ :

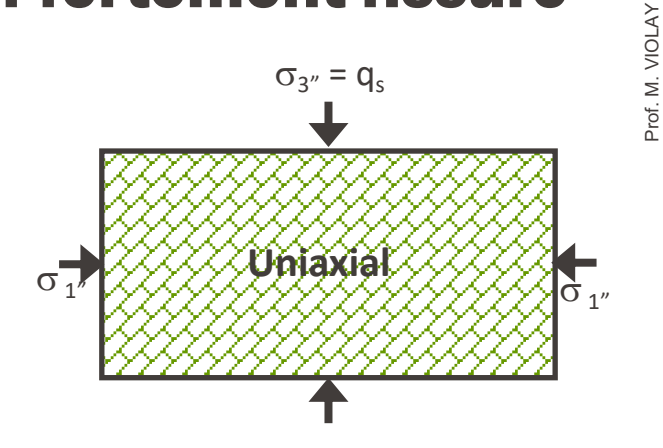
$$\sigma_{1"} = q_s + \sigma_{ci} \left( m_b \cdot \frac{q_s}{\sigma_{ci}} + s \right)^{0.5}$$

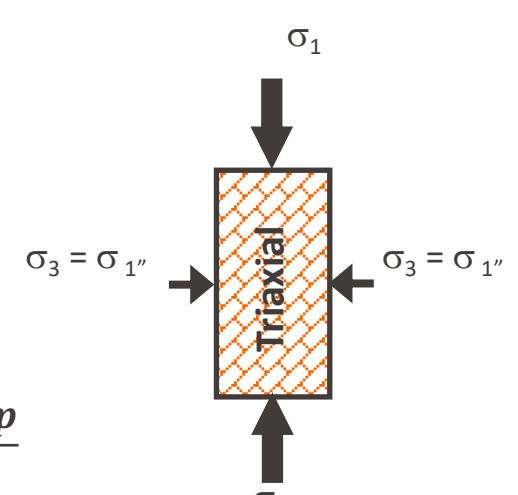
Résistance triaxiale pour  $\sigma_3 = \sigma_{1"}$ :

$$\sigma_1 = \sigma_3 + \sigma_{ci} \left( m_b \cdot \frac{\sigma_3}{\sigma_{ci}} + s \right)^{0.5}$$

$$q_p = \sigma_1 = \sigma_{1"} + \sigma_{ci} \left( m_b \cdot \frac{\sigma_{1"}}{\sigma_{ci}} + s \right)^{0.5}$$

Capacité portante admissible:  $q_a = \frac{c_{f1} \cdot q_p}{c_{f2}}$ 





MÉCANIQUE DES ROCHES ET OUVRAGES SOUTERRAI

#### Capacité portante admissible (Solution de Bell)

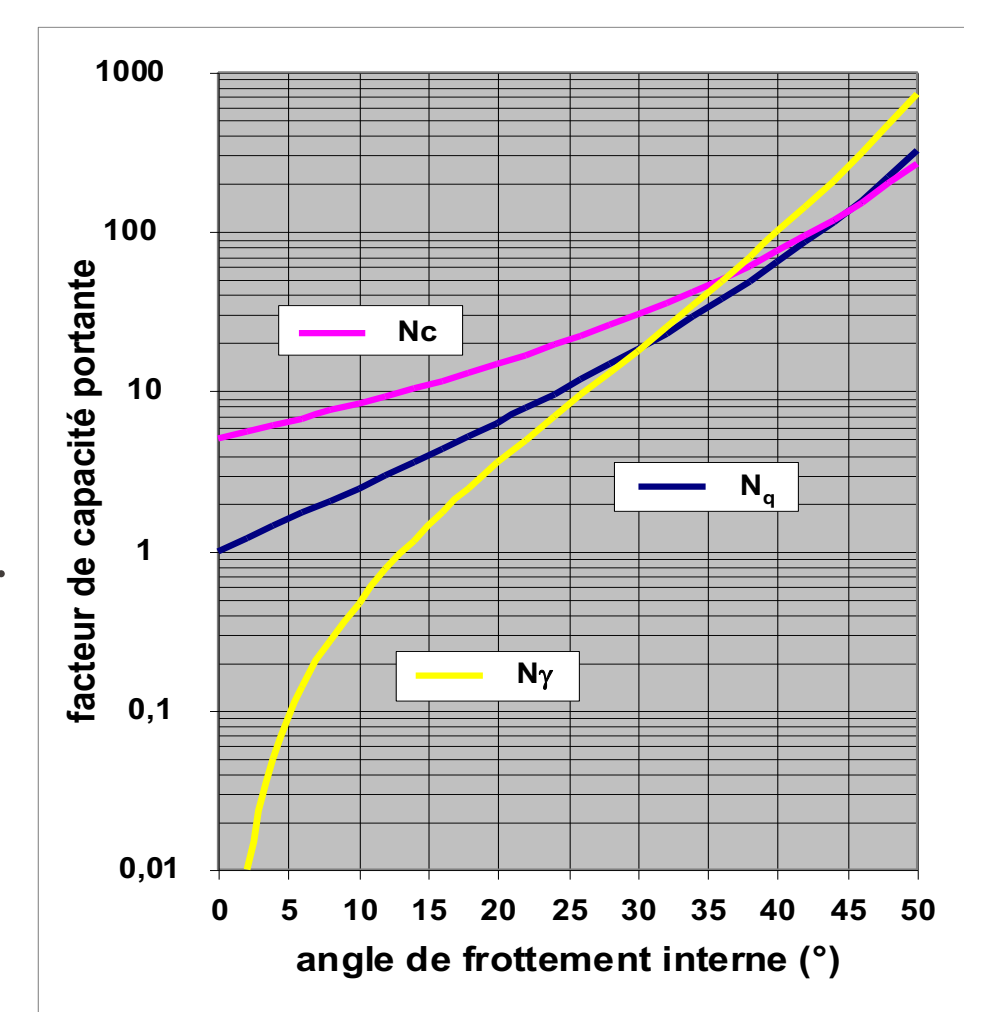
$$q_{a} = q_{p} / FS = (C_{f1} \cdot c \cdot N_{c} + D \cdot \gamma \cdot N_{q} + \frac{1}{2} \cdot C_{f2} \cdot B \cdot \gamma \cdot N_{\gamma}) / FS$$
avec:
w terme de w terme de cohésion profondeur profondeur profondeur w surface w

- $\gamma$  poids volumique du massif rocheux (N/m<sup>3</sup>)
- c sa cohésion (MPa)
- C<sub>f1</sub> et C<sub>f2</sub> des facteurs de forme, donnés dans le tableau F1
- $N_{\phi} = \tan^2(45 + \frac{1}{2}\phi)$  (sans unité) ( $\phi$  frottement interne)
- $N_c = 2 N_{\phi}^{\frac{1}{2}} (N_{\phi} + 1), N_{\gamma} = N_{\phi}^{\frac{1}{2}} (N_{\phi}^2 1), N_{q} = N_{\phi}^2$

Si la semelle est posée sur la surface de la roche et la charge sur la fondation grande (bien supérieure au poids du massif), l'équation peut être simplifiée:  $q_a = (C_{f1} \cdot c \cdot N_c) / FS$ 

#### **EPFL**

Variations de  $N_g$ ,  $N_q$  et  $N_c$  en fonction de  $\phi$ .



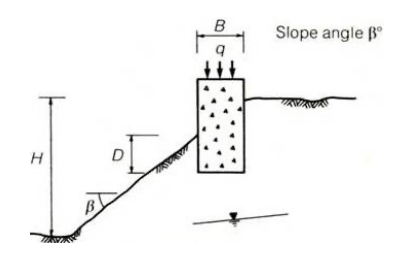
# Capacité portante d'une semelle sur une pente.

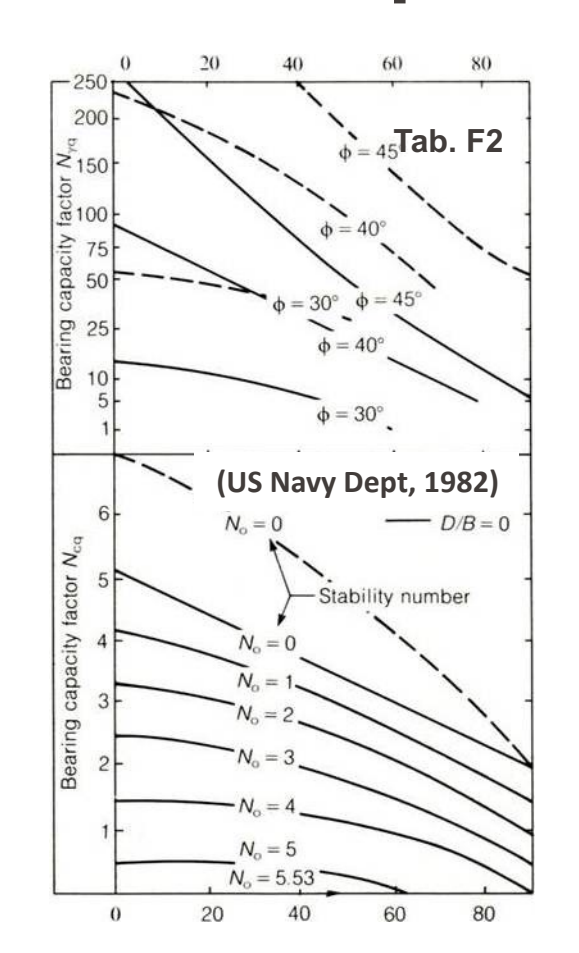
$$q_a = (C_{f1} \cdot c \cdot N_{cq} + \frac{1}{2} \cdot C_{f2} \cdot B \cdot \gamma \cdot N_{\gamma q}) / FS$$

 $\gamma$  est le poids volumique du massif; c sa cohésion,  $C_{f2}$  dans Tableau F1.

 $N_{cq}$  et  $N_{\gamma q}$  sont des coefficients de portance donnés dans l'abaque F2

$$N_0 = \gamma H / c$$





#### 2.2 Tassement des fondations superficielles

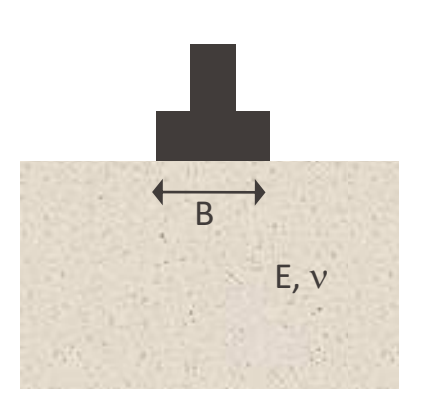


#### Semelles sur massif homogène et isotrope

$$\delta = C_d \cdot q \cdot B \cdot (1 - v^2) / E$$

#### avec

- Q (≠ Qa & Qp) la pression moyenne uniformément répartie sous la semelle
- B une dimension caractéristique de la fondation: i.e. diamètre si circulaire et largeur si rectangulaire
- v et E respectivement le coefficient de Poisson et le module d'élasticité du massif
- C<sub>d</sub> un facteur de forme et de rigidité donné par le Tableau F3



#### 2.2 Tassement des fondations superficielles

#### C<sub>d</sub> pour le calcul des tassements sous une semelle sur un massif homogène et isotrope (Winterkorn & Fang, 1975)

Forme	Centre	Coin	Centre côté B	Centre côté L	Moyenne
Cercle	1.00	0.64	0.64	0.64	0.85
Cercle (rigide)	0.79	0.79	0.79	0.79	0.79
Carré	1.12	0.56	0.76	0.76	0.95
Carré (rigide)	0.99	0.99	0.99	0.99	0.99
Rectangle (L/B=1.5)	1.36	0.67	0.89	0.97	1.15
Rectangle (L/B=2)	1.52	0.76	0.98	1.12	1.30
Rectangle (L/B=3)	1.78	0.88	1.11	1.35	1.52
Rectangle (L/B=5)	2.10	1.05	1.27	1.68	1.83
Rectangle (L/B=10)	2.53	1.26	1.49	2.12	2.25
Rectangle (L/B=100)	4.00	2.00	2.20	3.60	3.70
Rectangle (L/B=1000)	5.47	2.75	2.94	5.03	5.15

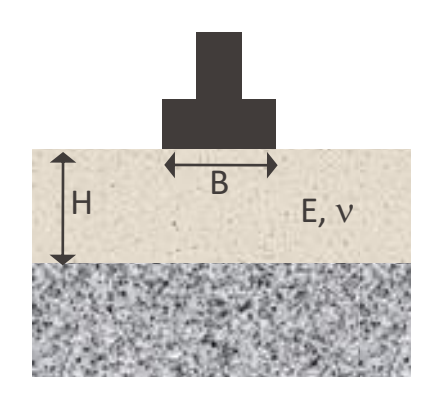
# Prof. M. VIOLAY

# Semelles sur un horizon compressible situé au-dessus d'un horizon rigide

$$\delta = C'_{d} \cdot q \cdot B \cdot (1 - v^2) / E$$

#### avec

- q la pression moyenne uniformément répartie sous la semelle
- B une dimension caractéristique de la fondation: i.e. diamètre ou largeur
- v et E respectivement le coefficient de Poisson et le module d'élasticité de l'horizon compressible
- C'<sub>d</sub> un facteur de forme selon le Tableau F4





#### C'<sub>d</sub> pour le tassement du centre d'une semelle reposant sur une couche élastique située au-dessus d'une couche rigide (Winterkorn & Fang, 1975)

	H/B	Cercle	Rectangle						
		Diamètre B	L/B=1	L/B= 1.5	L/B=2	L/B=3	L/B=5	L/B=10	L/B=∞
	0.1	0.09	0.09	0.09	0.09	0.09	0.09	0.09	0.09
	0.25	0.24	0.24	0.23	0.23	0.23	0.23	0.23	0.23
	0.5	0.48	0.48	0.47	0.47	0.47	0.47	0.47	0.47
	1.0	0.70	0.75	0.81	0.83	0.83	0.83	0.83	0.83
	1.5	0.80	0.86	0.97	1.03	1.07	1.08	1.08	1.08
	2.5	0.88	0.97	1.12	1.22	1.33	1.39	1.40	1.40
	3.5	0.91	1.01	1.19	1.31	1.45	1.56	1.59	1.60
	5.0	0.94	1.05	1.24	1.38	1.55	1.72	1.82	1.83
	00	1.00	1.12	1.36	1.52	1.78	2.10	2.53	00

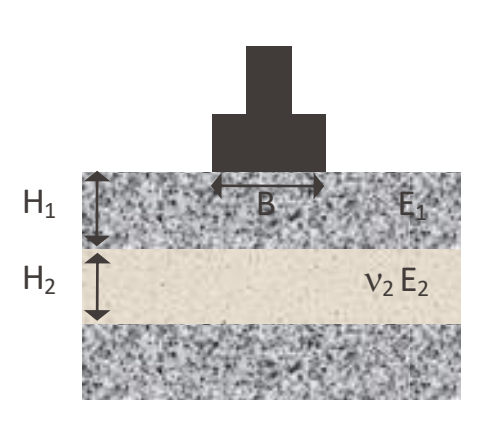


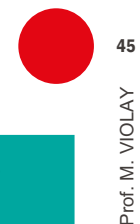
### Semelles avec une couche compressible intercalée entre deux horizons rigides

$$\delta = C''_{d} \cdot q \cdot B \cdot (1 - v_2^2) / E'$$

#### avec

- q la pression moyenne uniformément répartie sous la semelle
- B une dimension caractéristique de la fondation: i.e. diamètre ou largeur
- $E' = (E_1H_1 + E_2H_2) / (H_1 + H_2)$
- C"<sub>d</sub> un facteur de forme selon le Tableau F5 (identique au Tableau F4, mais en substituant H par  $(H_1+H_2)$ .





5

C"<sub>d</sub> pour le tassement du centre d'une semelle reposant sur un massif constitué d'une couche élastique entre deux horizons rigides (Winterkorn & Fang, 1975)

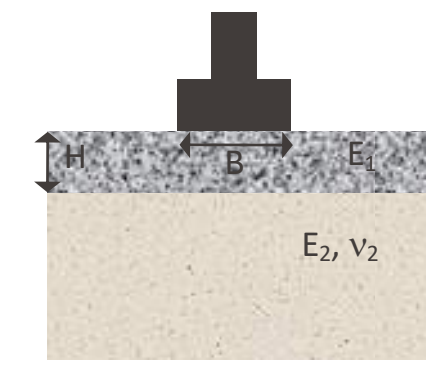
(U +U )/D	Cercle	Rectangle						
(H <sub>1</sub> +H <sub>2</sub> )/B	Diamètre B	L/B=1	L/B= 1.5	L/B=2	L/B=3	L/B=5	L/B=10	L/B=∞
0.1	0.09	0.09	0.09	0.09	0.09	0.09	0.09	0.09
0.25	0.24	0.24	0.23	0.23	0.23	0.23	0.23	0.23
0.5	0.48	0.48	0.47	0.47	0.47	0.47	0.47	0.47
1.0	0.70	0.75	0.81	0.83	0.83	0.83	0.83	0.83
1.5	0.80	0.86	0.97	1.03	1.07	1.08	1.08	1.08
2.5	0.88	0.97	1.12	1.22	1.33	1.39	1.40	1.40
3.5	0.91	1.01	1.19	1.31	1.45	1.56	1.59	1.60
5.0	0.94	1.05	1.24	1.38	1.55	1.72	1.82	1.83
œ	1.00	1.12	1.36	1.52	1.78	2.10	2.53	∞

## 2.2 Tassement des fondations superficielles

# Semelle sur un horizon rigide avec un horizon compressible au-dessous.

 i. Calculer le tassement comme si toutes les couches étaient compressibles avec un facteur de forme C<sub>d</sub> (Tableau F3)

$$\delta_{\infty} = C_{d} \cdot q \cdot B \cdot (1 - v_{2}^{2}) / E_{2}$$



ii. Déterminer H/B et E<sub>1</sub>/E<sub>2</sub>, puis le facteur de correction a selon Tableau F6. Le tassement final est donné par:

$$\delta = a \cdot \delta_{\infty}$$



Facteur de correction a pour le tassement d'une semelle reposant sur un horizon rigide au-dessus d'un horizon compressible (Winterkorn & Fang, 1975)

	0
Ì	I
	<b>5</b>
	Sa
ì	<del></del>
Ì	Ø

	H/B	$E_1/E_2$							
		1	2	5	10	100			
lableau ro	0	1.0	1.000	1.000	1.000	1.000			
	0.1	1.0	0.972	0.943	0.923	0.760			
	0.25	1.0	0.885	0.779	0.699	0.431			
	0.5	1.0	0.747	0.566	0.463	0.228			
	1.0	1.0	0.627	0.399	0.287	0.121			
	2.5	1.0	0.550	0.274	0.175	0.058			
	5.0	1.0	0.525	0.238	0.136	0.036			
	∞	1.0	0.500	0.200	0.100	0.010			

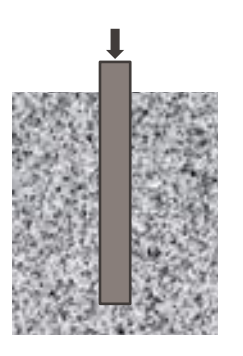
### **Fondations en rocher**

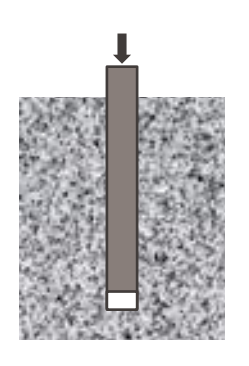
- 1. Introduction
- 2. Fondations superficielles
- 3. Fondations profondes
  - 3.1. Capacité portante
  - 3.2. Tassement
- 4. Fondations de barrage
- 5. Fondations travaillant en traction

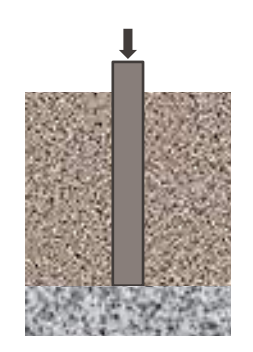
## 3.1 Capacité portante des fondations profondes











Pieu en rocher avec effort repris par frottement latéral et par la base.

Souvent  $Q_s > Q_b$ 

Pieu en rocher avec effort uniquement repris par frottement latéral, à cause d'une mauvaise réalisation de la base ou d'une couche de faible portance.

$$Q_b = 0$$

Pieu dans un terrain meuble reposant sur du rocher. Frottement latéral faible et grand effort en pointe.

$$Q_b >> Q_s$$

## 3.1 Capacité portante des fondations profondes



### Frottement Latéral et «Capacité Portante» des Pieux

- Les pieux forés dans la roche sont soutenus par frottement latéral et par la capacité portante.
- Frottement latéral: la résistance au cisaillement de l'interface rochebéton doit être estimée.
- Capacité portante : la résistance du rocher est utilisée.
- Tassement: les déplacements du rocher ainsi que du béton doivent être estimés.

## 3.1 Capacité portante des fondations profondes

#### Frottement Latéral:

Résistance latérale admissible

$$Q_s = \tau_s \cdot \pi \cdot D \cdot L / FS (Q en KN)$$

τ<sub>s</sub> est la résistance au cisaillement unitaire mobilisable à l'interface rocher-pieu, D le diamètre du pieu, L la longueur du pieu

$$\tau_a = \tau_s / FS \approx R \cdot \sigma_{cm}^{1/2} = résistance au cisaillement admissible$$

 $\sigma_{cm}$  est la résistance à la compression uniaxiale du massif rocheux, R est la rugosité du forage (0.3 si les ondulations > 10mm, 0.25 si les ondulations < 10mm)

## 3.1 Capacité portante des fondations profondes



### «Capacité Portante» du Pieu

Résistance en pointe admissible

$$Q_b = \frac{1}{4} \cdot \pi \cdot D^2 \cdot \sigma_{1m(b)} / FS$$

 $\sigma_{1m(b)}$  est la résistance à la compression triaxiale du massif rocheux en dessous de la base du pieu, D son diamètre.

La résistance triaxiale du massif rocheux peut être estimée avec le critère de Hoek-Brown.

### **EPFL**

### 3.2 Tassement des fondations profondes

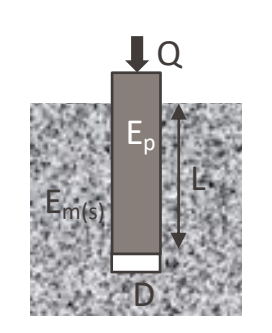


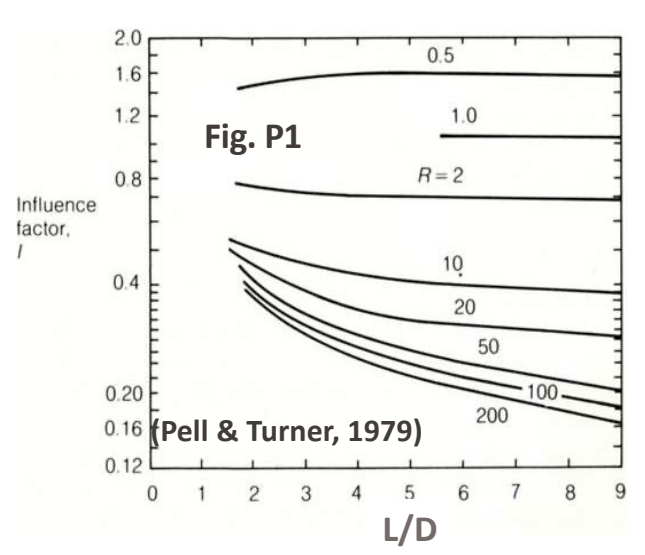
# Tassement d'un pieu travaillant par frottement latéral

$$\delta = Q \cdot I / (D \cdot E_{m(s)})$$



- Q la charge appliquée
- D le diamètre du pieu
- E<sub>m(s)</sub> le module d'élasticité du massif rocheux autour du pieu
- I un facteur d'influence donné dans la Figure P1





#### **EPFL**

### 3.2 Tassement des fondations profondes

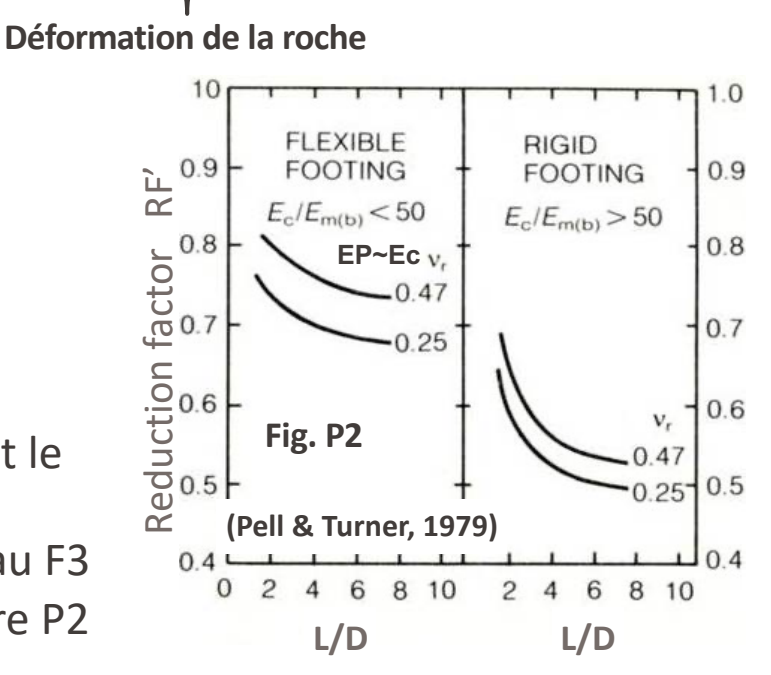


#### Tassement d'un pieu travaillant en pointe

 $\delta = (4 \cdot Q/\pi \cdot D^2) \cdot (L/E_p) + (4 \cdot Q/\pi \cdot D^2) \cdot [RF' \cdot C_d \cdot D \cdot (1 - v^2) / E_{m(b)}]$ 

Déformation du pieu

- Q la charge appliquée
- D le diamètre du pieu
- L la longueur du pieu
- E<sub>p</sub> le module d'élasticité du pieu
- v et  $E_{m(b)}$  le coefficient de Poisson et le module d'élasticité du rocher
- C<sub>d</sub> un facteur de forme selon Tableau F3
- RF' facteur de réduction selon Figure P2



### 3.2 Tassement des fondations profondes



Tassement d'un pieu travaillant par frottement latéral et en pointe.

$$\delta = QI/DE_{m(s)}$$

#### avec:

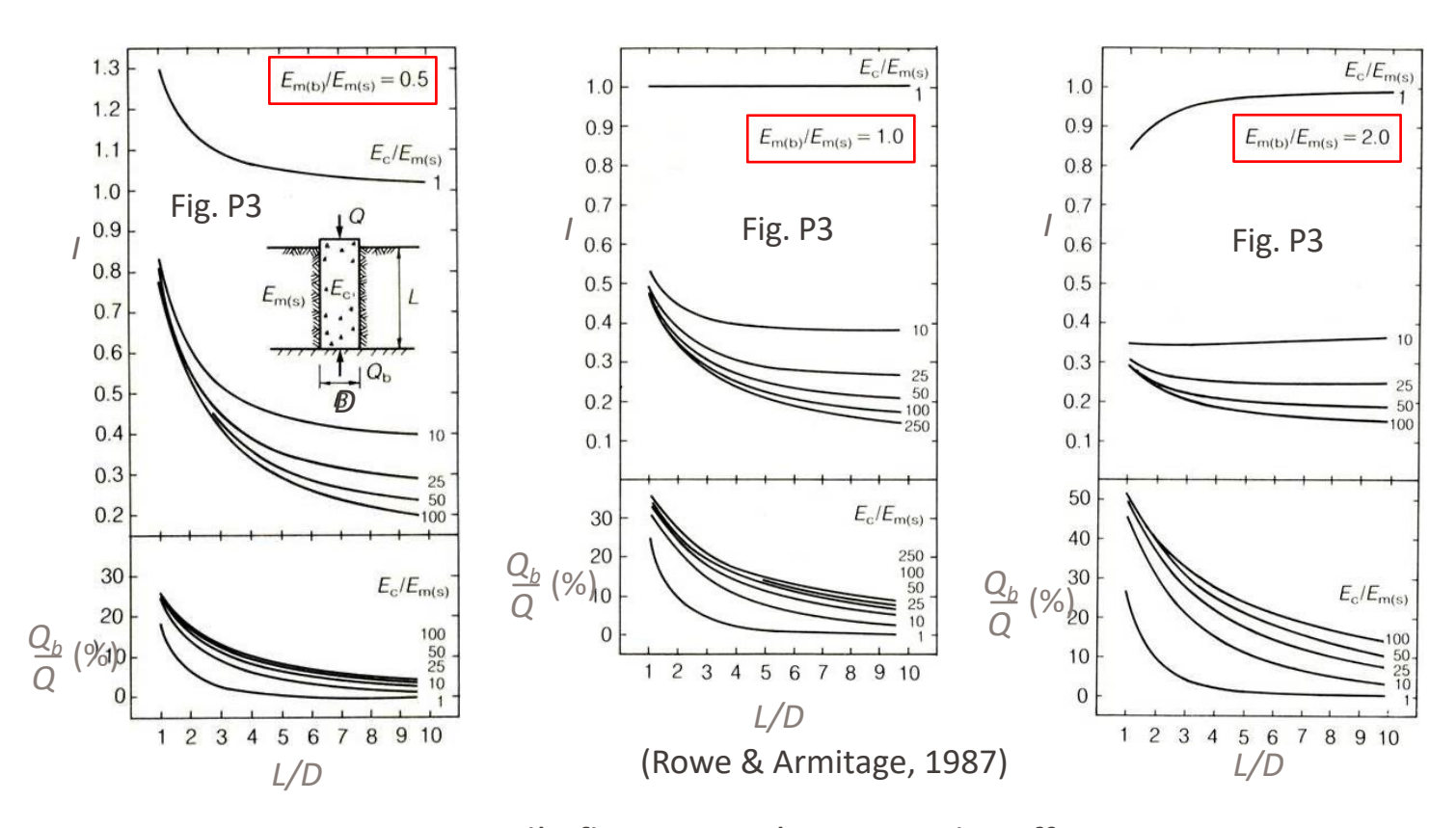
- Q la charge appliquée
- D le diamètre du pieu
- E<sub>m(s)</sub> le module d'élasticité de la roche forée
- I le facteur d'influence donné dans la Figure P3

Utiliser la Figure P3 pour estimer le pourcentage de charge reprise en pointe. Contrôler que l'effort à la base et le frottement latéral ne dépassent pas les valeurs admissibles.

#### **EPFL**

### 3.2 Tassement des fondations profondes





Facteur d'influence et répartition des efforts

### **Fondations en rocher**

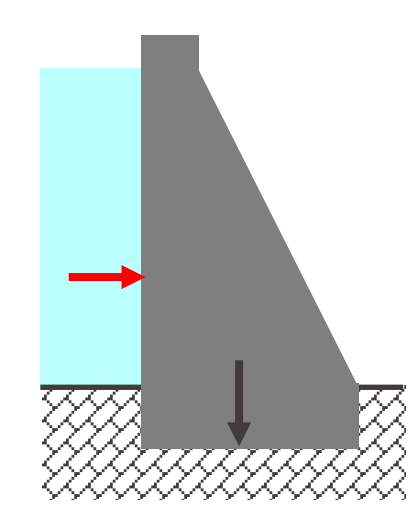
- 1. Introduction
- 2. Fondations superficielles
- 3. Fondations profondes
- 4. Fondations de barrage
- 5. Fondations travaillant en traction

### 4. Fondations de barrage

#### **Fondation pour barrage-poids**

Les barrages sont souvent construits sur de bons rochers de fondation. Ceux-ci doivent supporter le poids du barrage et la pression hydrostatique.

La capacité portante n'est pas souvent un problème. La rupture de la fondation en cisaillement due à la poussée de l'eau l'est, en revanche, beaucoup plus souvent.



### 4. Fondations de barrage

#### Résistance au glissement

Sur une surface horizontale

FS = résistance totale / sollicitations tangentielles

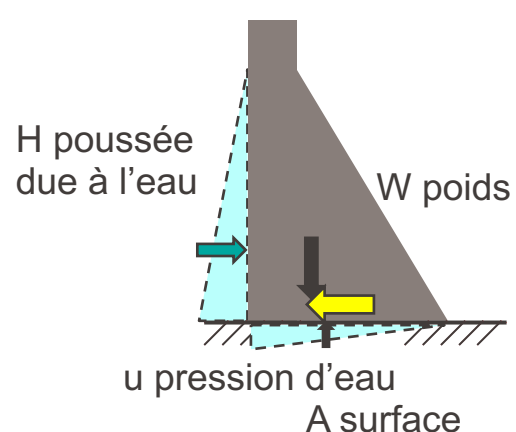
$$FS = [c \cdot A + (\Sigma w - \Sigma u) \cdot tan\phi] / \Sigma H$$

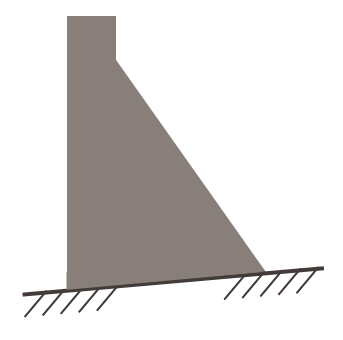
c = cohésion,  $\phi = friction$  angle

ii. Sur une surface inclinée

> Faire la projection des forces sur le plan incliné

FS = résistance totale / sollicitations tangentielles

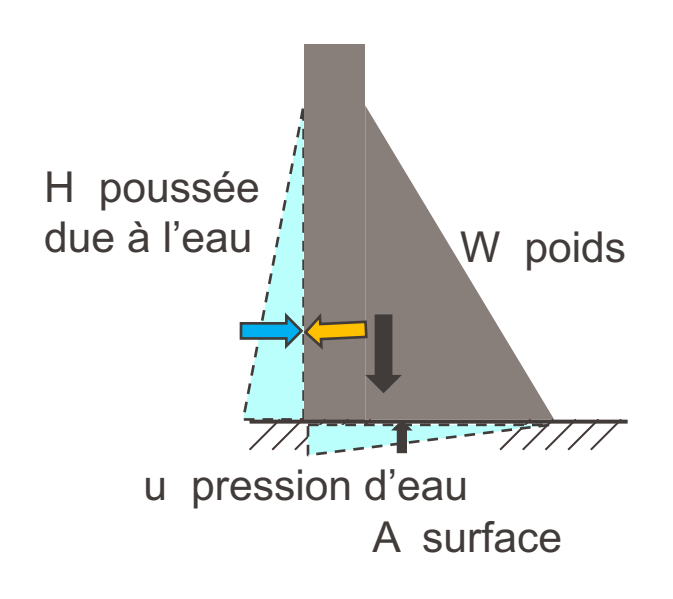




Base inclinée

MÉCANIQUE DES ROCHES ET OUVRAGES SOUTERRAINS

### 4. Fondations de barrage



Strength > stress

Strength = friction à interface barrage/ rocher  
= 
$$C^* + \sigma n^{\text{eff}}$$
.tan( $\emptyset$ )  
=  $C^* + (\sigma n - \text{pf})$ . tan ( $\emptyset$ )

Stress= poussée due à l'eau

→ Equilibre des forces

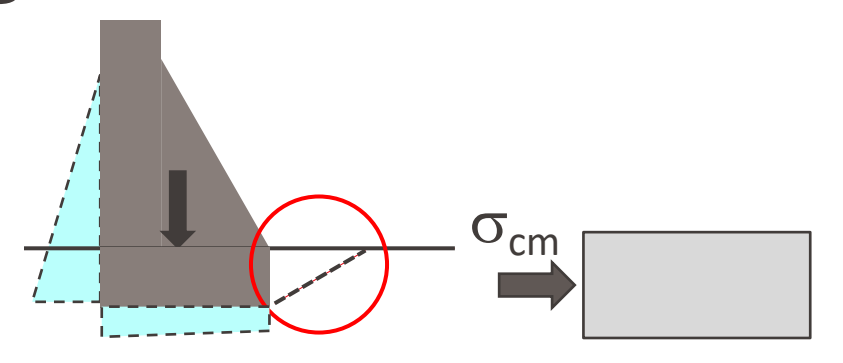
$$\mathsf{F}_{\mathsf{orange}} = (C + (\boldsymbol{\sigma}n - \boldsymbol{PF}) * \tan(\emptyset))^* \mathsf{A}$$
$$= \mathsf{CA} + (\sum \boldsymbol{W} - \sum \boldsymbol{u}) * \tan(\emptyset)$$

$$F_{\text{bleue}} = \sum H$$

$$FS = [c \cdot A + (\Sigma w - \Sigma u) \cdot tan\phi] / \Sigma H$$

### 4. Fondations de barrage

### Pied de Barrage encastré



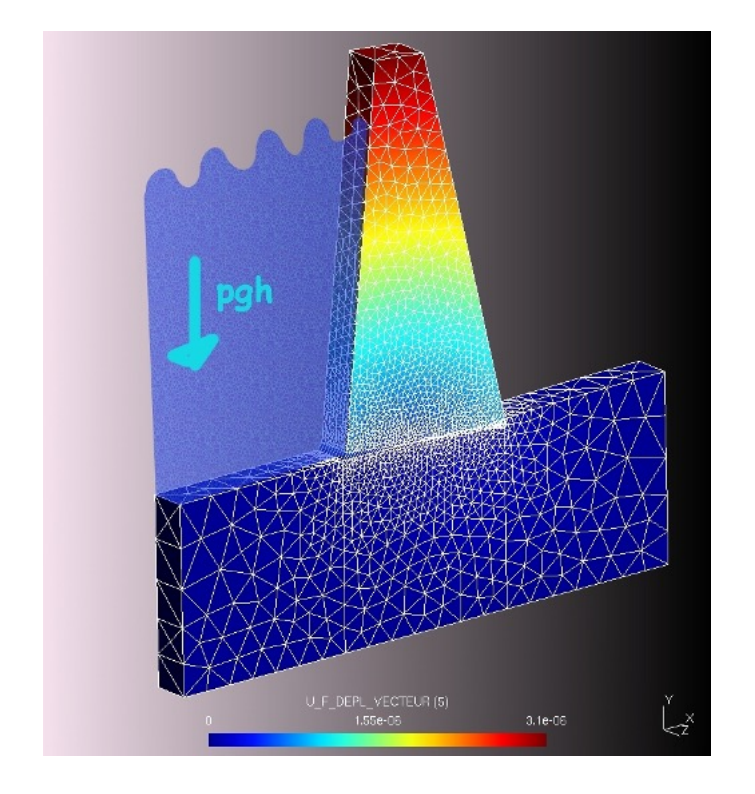
FS = (résistance au glissement + résistance du massif rocheux au pied aval du barrage) / sollicitation en glissement

- i. Résistance au glissement =  $c \cdot A + (\Sigma V \Sigma u) \cdot tan \phi$  $c = cohésion, \phi = angle de frottement$
- ii. Résistance du massif rocheux =  $\sigma_{cm} = s^{1/2} \cdot \sigma_{ci}$   $s = \exp[(GSI-100)/9]$  (pour un bon rocher)  $\sigma_{ci} = résistance en compression uniaxiale de la roche$
- iii. Sollicitation : Poussée de l'eau ( $\Sigma$ H)

## 4. Fondations de barrage

#### Stabilité du barrage et déplacement

Suite à la complexité de la géométrie des fondations ainsi qu'à une distribution des efforts fortement non-linéaire, le recours à une analyse numérique (MEF=element fini) est très courante.



### **Fondations en rocher**

- 1. Introduction
- 2. Fondations superficielles
- 3. Fondations profondes
- 4. Fondations de barrage
- 5. Fondations travaillant en traction

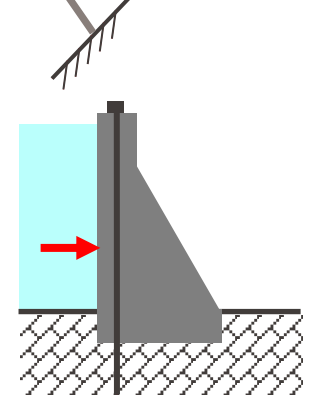


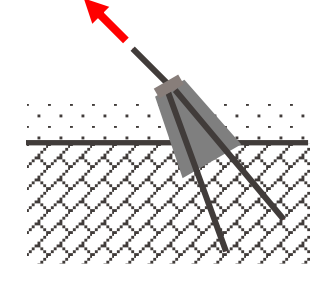
rof. M. VIOL

Fondation soumise à la traction par des tirants d'ancrage

Des tirants d'ancrage et des injections de coulis de ciment peuvent être utilisés pour reprendre des efforts de traction au droit de l'appui d'ouvrages.

Les tirants d'ancrage sont utilisés pour des ouvrages de protection contre les chutes de blocs, des fondations de barrages, des massifs d'ancrage.

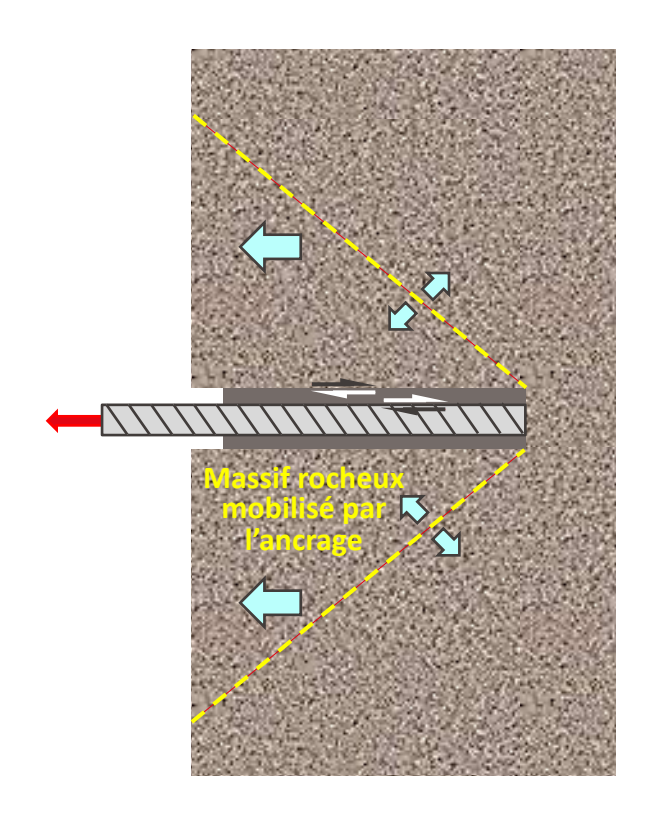






#### Résistance à la traction des tirants

La traction est transmise de l'ancrage au massif rocheux par un coulis de ciment. Cette interface rocher-ancrage est sollicitée en cisaillement. La roche reprend l'intégralité de la charge et une rupture de celle-ci n'est pas exclure.





# orof M VIOL

#### Dimensionnement des fondations soumises à traction

- Le diamètre des ancrages doit être suffisant pour reprendre la charge de dimensionnement.
- ii. La longueur de forage doit être estimée sur la base des résistances au cisaillement entre le coulis et la roche et entre la barre et le coulis.
- iii. La longueur de l'ancrage dépend aussi de la résistance du massif rocheux. Il faut estimer le volume (cône) de roche mobilisée, son poids propre ainsi que la résistance au cisaillement.

#### Scellement des tirants d'ancrage

En général, la résistance au cisaillement à l'interface coulis de cimentbarre est le double de celle à l'interface coulis de ciment-rocher. Il faut donc prendre cette dernière pour le dimensionnement. La charge admissible est définie comme suit:

Factor de sécurité
$$Q_a = \frac{1}{2} \cdot \pi \cdot D \cdot L_b \cdot \tau_{ult} = \pi \cdot D \cdot L_b \cdot \sigma_c / 20$$

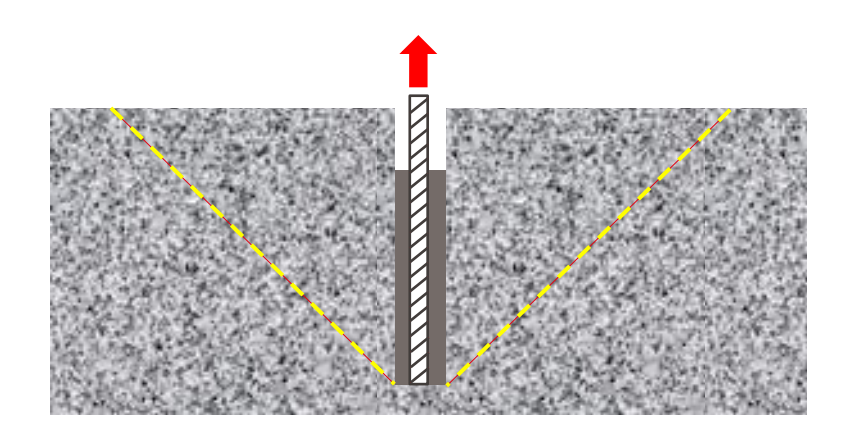
- D diamètre effectif du forage
- L<sub>h</sub> longueur du forage
- τ<sub>ult</sub> résistance ultime de l'interface coulis-rocher (essai de traction ou spécifications du produit ou  $\approx 1/10 * \sigma_c$ ).

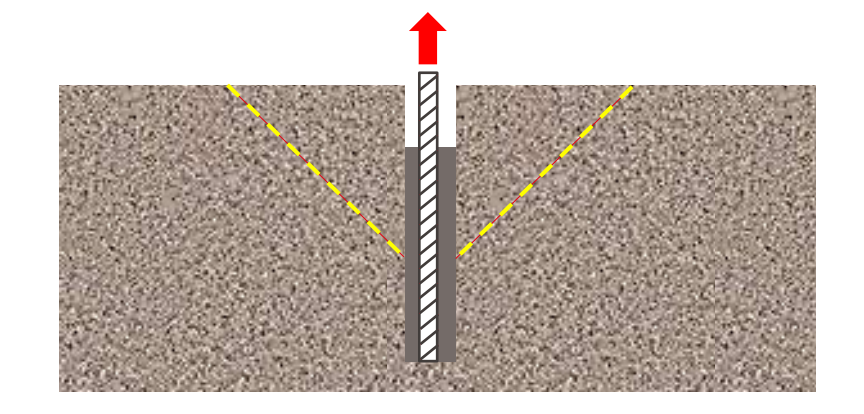
# Prof. M. VIO

### Ligne de rupture

Dans des massifs rocheux de bonne qualité, la rupture se développe depuis l'extrémité de l'ancrage.

Dans des massifs rocheux de mauvaise qualité, la rupture la plus probable se développe depuis la mi-longueur du scellement.





#### **EPFL**

### 5. Fondations travaillant à la traction



#### Résistance au soulèvement du massif d'ancrage

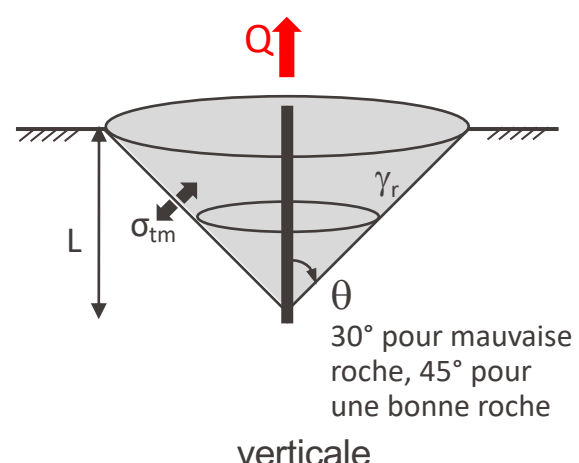
La résistance vis-à-vis du soulèvement comprend la contribution du poids propre du rocher W<sub>c</sub> et la résistance du rocher le long du cône de rupture F<sub>r</sub>.

$$W_c = \frac{1}{3} \cdot \gamma_r \cdot \pi \cdot L^3 \cdot tan^2\theta$$

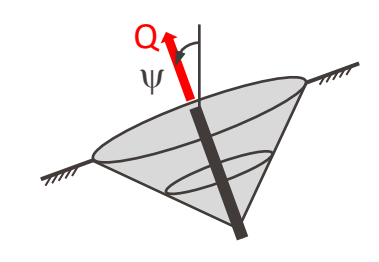
$$F_r = \sigma_{tm} \cdot \pi \cdot L^2 / \cos^2 \theta$$

Résistance vis-à-vis du soulèvement:

$$Q = (F_r + W_c \cdot \cos \psi) / FS$$



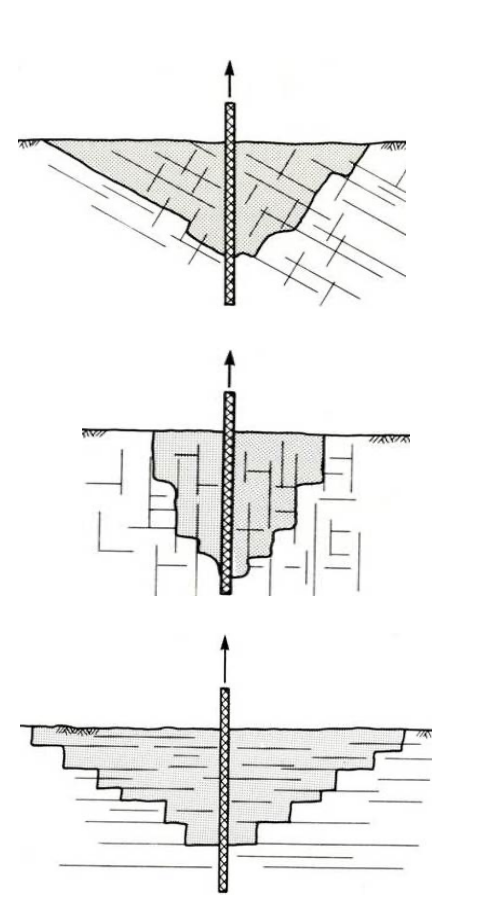
verticale



### 5. Fondations travaillant à la traction

#### Résistance au soulèvement du massif d'ancrage

La résistance à l'arrachement d'un massif d'ancrage dépend du système de discontinuités. La géométrie et la taille du cône de rupture sont fortement influencées par le réseau de discontinuités. De plus, les fissures diminuent fortement la résistance à la traction du massif et dès lors la résistance au soulèvement du massif d'ancrage.



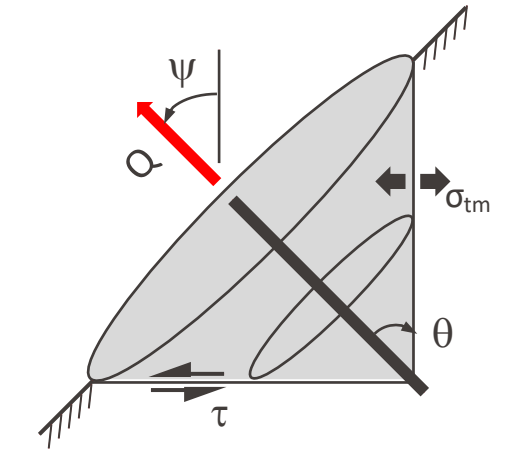
### 5. Fondations travaillant à la traction



### Ancrage fortement incliné

Quand  $\psi > (90 - \theta)$ , certaines régions situées en partie inférieure du cône sont sollicitées en cisaillement, alors que les autres le sont en traction.

Pour un bon rocher:  $\tau >> \sigma_{tm}$ 



# Prof. M. VIOLAY

#### **Autres conditions**

Pour des ancrages dirigés vers le bas, la direction de la résultante du poids propre du cône doit être analysée. La moitié inférieure du cône est sollicitée en cisaillement.

En présence d'une nappe phréatique, le poids effectif du massif rocheux doit être pris en compte.

